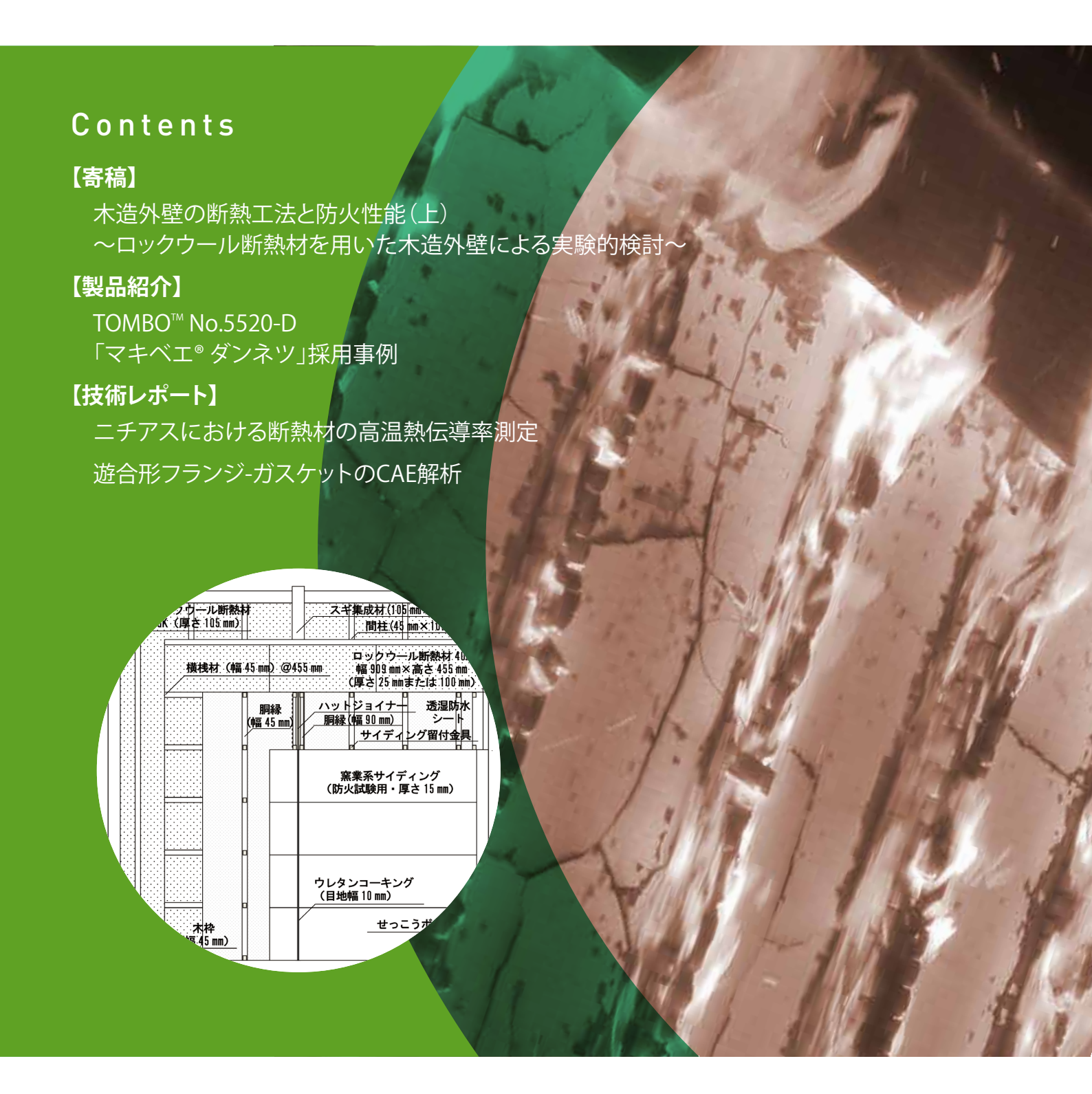
# ニチアス 技術時報

 No.385

 2019

 号





# **ニチアス技術時報** 2019年 2号 No.385

#### 次 目

#### 【寄稿】

木造外壁の断熱上法と防火性能(上)	
~ロックウール断熱材を用いた木造外壁による実験的検討~	•
地方独立行政法人 北海道立総合研究機構 建築研究本部	
北方建築総合研究所 建築研究部 建築システムグループ 主査 (建築技術)	
兼 建築性能試験センター 安全性能部 評価試験課 主査(防耐火) 糸毛 治	

#### 【製品紹介】

◆ TOMBO™ No.5520-D「マキベエ®ダンネツ」採用事例		7
	建材事業本部 技術開発部	

#### 【技術レポート】

◆ニチアスにおける断熱材の高温熱伝導率測定			•••••	11
	研究開発本部	浜松研究所	阿部 直	<b>〔</b> 毅

#### 【技術レポート】

◆遊合形フランジ - ガスケットの CAE 解析 ·······17

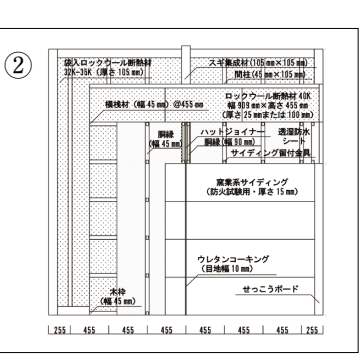
工業製品事業本部 配管・機器部品技術開発部 衣川 公彦

#### 表紙写真:

木造外壁の防火試験で用いる試験体は、実際の外 壁に使用される材料を用い、幅、高さがともに3mを超える大きさです。試験には専用の壁炉があり、 火炎による加熱で試験を行います。

- ①炎に包まれる試験体
- ②試験体の設計図面





送り先ご住所の変更、送付の停止などにつきましては、下に記載の連絡先までご連絡ください。 なおその際は、宛て名シールに記載されている7桁のお客様番号を必ずお知らせくださいますよう、お願いいたします。

〈連絡先および本誌に関するお問い合わせ先〉

ニチアス株式会社 経営企画部広報課

TEL:03-4413-1194 FAX:03-3552-6149

E-mail: info@nichias.co.jp

本誌の内容は当社のホームページでもご紹介しております。 https://www.nichias.co.jp/

# 木造外壁の断熱工法と防火性能(上) ~ロックウール断熱材を用いた木造外<u>壁による実験的検討</u>~

地方独立行政法人 北海道立総合研究機構 建築研究本部 北方建築総合研究所 建築研究部 建築システムグループ 主査(建築技術) 兼 建築性能試験センター 安全性能部 評価試験課 主査(防耐火)

糸 毛 治

#### 1. は じ め に

住宅や建築物の断熱化は、建築物のエネルギー 消費量を削減し、室内の温度環境の向上を実現す る上で欠かせない技術であり、今や寒冷地のみな らず全国的な基盤技術と言えます。

木造軸組構法や枠組壁工法など、日本で建築さ れる木造外壁の断熱工法には, 主に軸間に断熱材 を充填する充填断熱工法, 木造躯体の屋外側に断 熱材を張る外張断熱工法. これらを組み合わせた 付加断熱工法の3つがあります。また用いられる断 熱材には、高い耐熱性を持つロックウール断熱材 をはじめ、グラスウール断熱材や可燃性を有する 各種発泡プラスチック断熱材などがあります。こ れら断熱材と断熱工法の組合せは多岐にわたり. 木造外壁の断熱仕様は実に多様性に富んでいます。

一方, 建築基準法では, 建設地, 規模, 用途に 応じて、建築物の主要構造部を防火構造や準耐火 構造、耐火構造等とするよう定めており、主要構 造部に該当する外壁は、断熱性能と防火性能の両 方を兼ね備えることが求められます。鉛直荷重を 支える外壁に必要な防火性能は、火災による加熱 に対し, 所定の時間, 遮炎性, 遮熱性, 非損傷性 の3つを保持し続けることです。遮炎性は外壁が 火炎を通さないこと、遮熱性は外壁越しに燃え移 るような熱を通さないこと、非損傷性は外壁内の 柱が座屈しないことをそれぞれ指します。

断熱された木造外壁が火災による加熱を受けた 場合、壁内の断熱材は非加熱側への放熱を妨げて 壁内の温度分布を大きく変化させます。特に、断

熱材の加熱側では高温となるため、柱や断熱材等 の構成材料の性質や位置関係によっては、材料自 体の燃焼や溶融が起こると想定されます。

従って、木造外壁では、断熱材と断熱工法の多 様な組合せを持つに加えて、壁内の断熱材の設置 位置・種類・厚さのそれぞれが防火性能に影響を 及ぼし、その影響は複雑に重なり合います。

しかし、この木造外壁における断熱材や断熱工 法と防火性能との関係は解明できておらず、木造 外壁の断熱仕様と防火性能を関連付ける明確な指 針は整備されていません。

そのため、防火性能を付与した木造断熱外壁の 開発・評価は、断熱仕様ごとに個別に行われる状 況にあり、多数の認定・試験が必要となって、膨 大な時間と費用を要しています。この問題は、新 規壁体開発の停滞を招き、住宅・建築物の省エネ ルギー化の推進に向けて、外壁の高断熱化を図っ ていく上で障害となっています。

この問題の解決に向けて、断熱材や断熱工法が 外壁の防火性能に及ぼす影響を明らかにするた め、これまでロックウール断熱材メーカーである ニチアスをはじめ各断熱材メーカーの方々の協力 を得ながら、実験的検討を積み重ねてきました。 断熱材や断熱工法が防火性能に及ぼす影響は、断 熱工法による断熱材の位置や厚みなど壁体構成に 起因する影響と、断熱材自体の溶融や熱分解、燃 焼など、断熱材の材料特性に起因する影響の2つ に大別できます。本報では前者について、次報で は後者について、それぞれこれまでに分かってき たことを報告します。

#### 2. 検討対象と防火実験

今回の検討対象は、木造建築物の大部分を占める準耐火建築物までを想定して、屋外側、屋内側両側からの火災加熱に対する防火性能が求められる45分準耐火構造の木造外壁としました。

試験体(幅3240mm×高さ3230mm)は、木造外壁の典型的な構成として、外装材に窯業系サイディング(厚さ15mm)、内装材にせっこうボード(厚さ12.5mm + 9.5mm重張)とする乾式工法の木造軸組造の外壁(45分準耐火構造)を共通仕様としました(図1)。

断熱工法による防火性能への影響は、火災加熱が終了するまで、断熱材自体に溶融や燃焼が起きてしまうと把握することができません。そこで、この共通仕様に対し、断熱材に、高温下で溶融・燃焼等が生じないロックウール断熱材を用いたうえで、断熱工法を変えて、加熱方向(屋外側加熱(以下、屋外加熱)、屋内側加熱(以下、屋内加熱))ごとに防火実験を繰り返し、比較検討を進めました。

防火実験は、(地独) 北海道立総合研究機構建築研究本部の壁炉を用いて、防耐火構造に係る大臣認定を受ける際の試験方法(性能評価機関の業

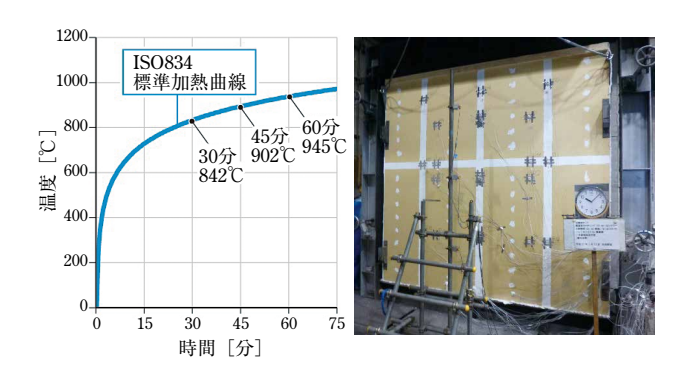


図2 標準加熱曲線・防火試験の様子

務方法書1) に基づき、実施しました(図2)。

具体的には、柱に長期許容応力度に相当する応力度が生じる荷重が集中してかかるように載荷し、柱が荷重支持能力を失ったと判断されるまで、または非加熱側から壁越しに火炎が確認されるまでISO834標準加熱曲線に合うように加熱を行いました(図2)。

#### 3. 断熱工法と防火性能

#### 1) 遮熱性・遮炎性

壁内にロックウール断熱材を設置すると,断熱 材により非加熱側への伝熱が遮られ,温度は断熱

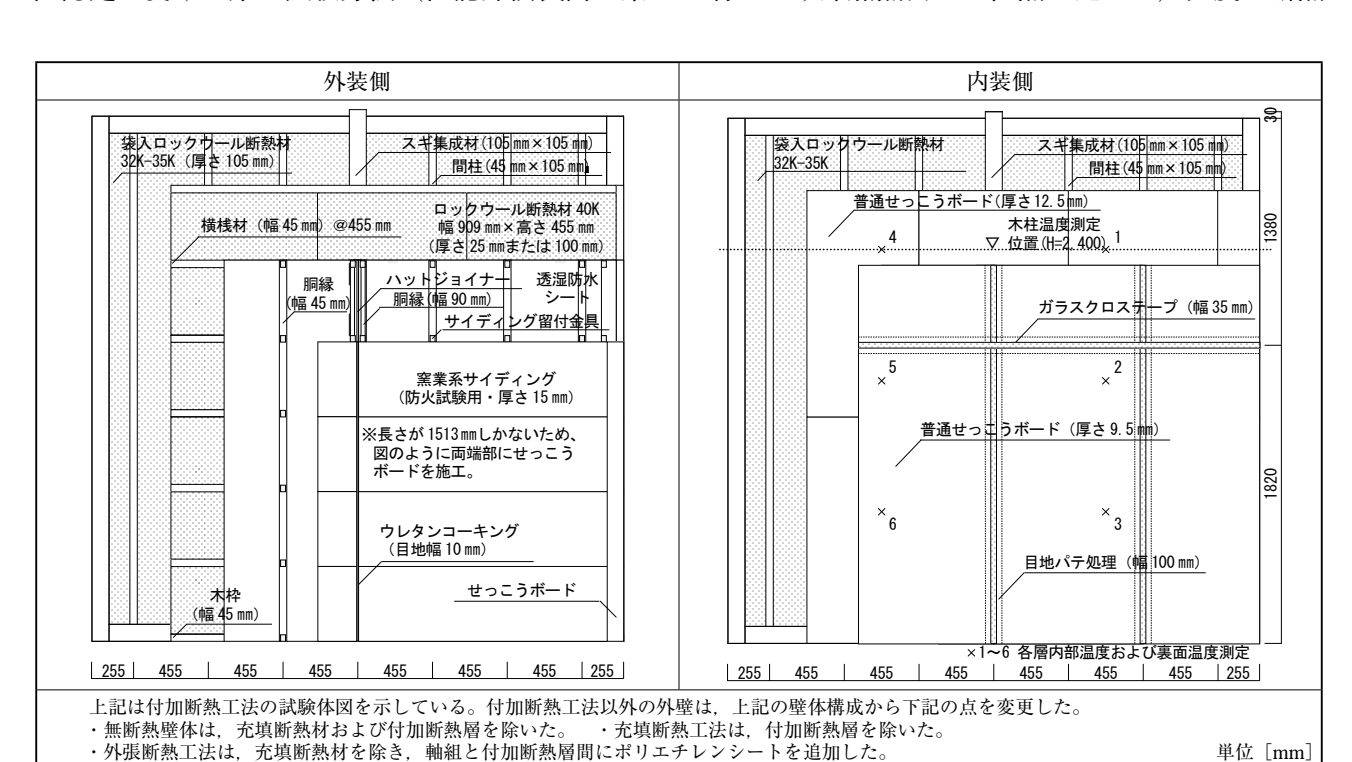


図1 試験体図

材より加熱側では高く、非加熱側では低く推移します(図3)。防火性能のうち、遮熱性・遮炎性は、壁内のロックウール断熱材が厚く、断熱性が増すほど向上します。しかし柱の座屈(非損傷性)に直結する柱の燃え進み方は、加熱方向に対する柱とロックウール断熱材との位置関係により異なります。

従って、ロックウール断熱材を用いた木造外壁 の防火性能は、ある程度以上の断熱性能があれば、 柱の座屈(非損傷性)で決まります。そこで柱の 燃え進み方に着目して断熱工法との関係をみてい きます。

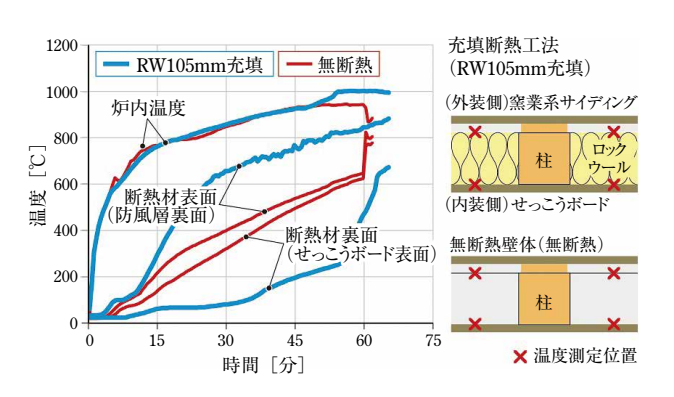


図3 断熱材の有無と各層の温度推移(屋外加熱)

#### 2) 柱の座屈(非損傷性)

#### (1) 充填断熱工法と無断熱壁体

断熱材を軸間に充填すると、断熱材より加熱側では温度が高くなり、加熱側に位置する柱正面や柱角部が燃え進みます。一方、断熱材により被覆される柱側面では、柱の燃え進みが抑制されます。このように充填断熱材が非損傷性に及ぼす影響は、有利に働く面と不利に作用する面の二面性があります。

充填断熱工法における試験終了後の柱断面の 形状は、この充填断熱材の作用により、無断熱 壁体に比べて扁平な形状になります(図4)。柱 断面の形状だけを見ますと、加熱側が燃え進ん だ扁平な柱の方が、柱の断面二次モーメントは 小さくなり、座屈しやすい形状です。しかし今回 の試験では、充填したロックウール断熱材は、外 装材を高温に曝し、外装材の脱落開始時間を早 め, さらに柱加熱側の損傷を促進させたにもかか わらず, 柱側面を被覆することにより非損傷性を 向上させる結果となりました。

この理由として, 充填断熱工法では, 柱が直接, 熱を受ける無断熱壁体に比べて, ロックウール断熱材が柱側面を被覆することで, 柱内部の温度上昇を抑えて, 柱のヤング率低下および強度低下を抑制した可能性などが考えられます。

#### (2) 外張断熱工法と無断熱壁体

外張断熱工法では、断熱材と柱の位置関係が加熱方向により異なります。屋外側から加熱される場合,外張断熱材は柱より手前(加熱側)に位置し、屋内側から加熱される場合は柱の背後(非加熱側)に位置します。

ロックウール断熱材を外張断熱材として用いますと、屋外加熱に対しては柱を被覆するとともに中空層温度を低く保って、柱の燃え進みを抑制して非損傷性を向上させます。

一方、屋内加熱に対しては、ロックウール断熱材は、柱・中空層から非加熱側への放熱を妨げるため、柱周辺部は柱側面を含めて高温となり、柱の燃え進みを促進させて、非損傷性上、不利側に作用します。なお、屋内加熱終了後の柱断面を見ますと、無断熱壁体に比べ小さく、柱はより燃え進んでから座屈していることがわかります。ロックウール断熱材を外張断熱材として用いる場合に配される横桟材が柱を背後から支えたとみられます。従って、屋内加熱時の防火性能は、断熱材による柱の燃え進みと横桟材による柱を支える働きの2つから説明できます(図5)。

#### (3) 付加断熱工法と充填断熱工法

付加断熱工法における防火性能の特徴は,これまで見てきた充填断熱材と外張断熱材(付加断熱工法の場合,外張断熱材を付加断熱材と言います。)の働きから説明できます。

充填断熱工法の外壁に、付加断熱材としてロックウール断熱材を付加しますと、屋外加熱に対しては、付加断熱材が柱の被覆材となるため、ロックウール断熱材が厚いほど非損傷性は向上します。

	屋外		屋内	加熱
	充填断熱工法	無断熱壁体	充填断熱工法	無断熱壁体
	105mm 充填	無断然壁体	105mm 充填	無断熱壁神
加熱時間	65.0分	61.5分	65.3分	65.0分
遮炎性を失った時間	_	_	_	61.2分
非損傷性を失った 時間 (柱座屈時間)	64.0分	61.0分	65.0分	64.5分
内外装材が 脱落し始めた時間	46.1分	60.0分	40.0分	55.0分以降
屋外(外装材)側 試験終了後の柱断面* 屋内(内装材)側				
模式図	外装材 加熱 通気胴縁 高温化	加熱         通気胴縁           放熟         柱         放熟           内装材         人类材         人类材	外装材 通気胴縁 燃焼抑制 高温化 内装材 加熱	放熟         柱         放熟           内装材         加熱

※外黒枠は、試験前の柱断面を示す。

図4 充填断熱工法と無断熱壁体

	屋外加熱			屋内	加熱	
	外張断熱工法	外張断熱工法 外張断熱工法			無断熱壁体	
	25mm 外張	無断熱壁体	100mm外張	25mn	n外張	無例然室件
加熱時間	75.5分	61.5分	60.5分	58.0	)分	65.0分
遮炎性を失った時間	_		_	-	_	61.2分
非損傷性を失った 時間(柱座屈時間)	75.0分	61.0分	59.8分	57.0	0分	64.5分
内外装材が 脱落し始めた時間	41.0分	60.0分	40.0分以降	42.05	分以降	55.0分以降
屋外(外装材)側 試験終了後の柱断面* 屋内(内装材)側						
	屋外	加熱		屋内	加熱	
	外張断熱工法 無断熱壁体		外張断熱工法			無断熱壁体
模式図	外装材 加熱 高温化 放熱 柱 放熱	外装材 加熱 通気胸縁 放熱 柱 放熱 内装材	外装材         加         柱           加制         柱         熟         中型           内装材         加熟         材	横桟材 (柱を後ろ支え) 外装材	外装材 放熟 柱 内装材	, the state of the

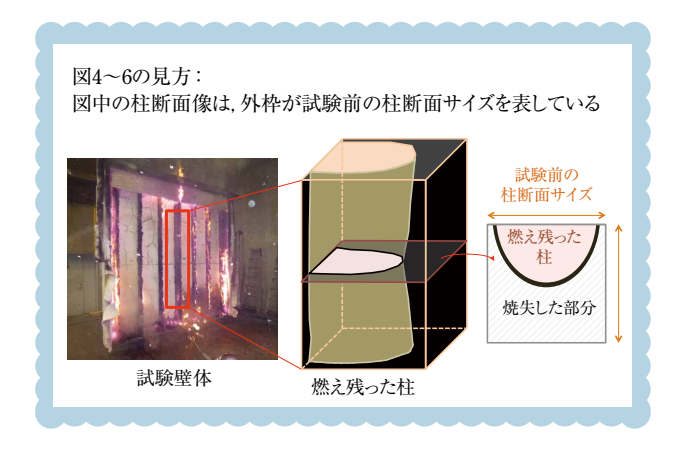
※外黒枠は、試験前の柱断面を示す。

図5 外張断熱工法と無断熱壁体

	屋外加熱			屋内	加熱	
	付加断熱工法	充填断熱工法	付加目	付加断熱工法		充填断熱工法
	25mm付加	105mm充填	100mm付加	25mm	ı付加	105mm 充填
加熱時間	85.0分	65.0分	76.0分	73.0	)分	65.3分
非損傷性を失った 時間(柱座屈時間)	84.0分	64.0分	75.8分	72.4	1分	65.0分
内外装材が 脱落し始めた時間	48.0分	46.1分	38.0分	45.0	)分	40.0分
屋外(外装材)側 試験終了後の柱断面* 屋内(内装材)側						
	屋外	加熱		屋内	加熱	
	付加断熱工法	充填断熱工法	付加断熱工	法	5	充填断熱工法
模式図	外装材 加熱 所需 在 放熱 在 放热 在 放热 在 放热 表 放热 表 放热 表 放 表 放 表 放 表 放 表 放 表 放 表	外装材 加熱 通気胴線 高温化	外装材 放熟条 抑制制 桂 源温化 内装材 加熱	横模材 (柱を 後ろ支え) 所熱材 外 技 材	外装材 人 内装材 加	加

※外黒枠は、試験前の柱断面を示す。

図6 付加断熱工法と充填断熱工法



また屋内加熱に対しても、付加断熱層の横桟材が柱を支えて非損傷性が向上します。この時、付加断熱層の横桟材は充填されたロックウール断熱材によって被覆・保護されるため、外張断熱工法の時より断面欠損が進まず、柱を支える働きは持続します。その一方で、屋内加熱に対し、付加断熱材を設置しても柱の温度はあまり変化しません。充填断熱材だけで十分な断熱効果があり、付加断熱材が柱へ及ぼす伝熱的な影響は小さいと言えます(図6)。

#### 4. ま と め

本報では、防火性能を付与した木造断熱外壁の 開発・評価における負担低減を目指し、木造外壁 の断熱仕様と防火性能との関係性を明らかにする ため、高温下で溶融・燃焼等が生じないロックウー ル断熱材を用いた木造準耐火外壁を対象に、断熱 工法が外壁の防火性能に及ぼす影響について報告 しました。

防火性能のうち, 遮熱性および遮炎性は, ある 程度の断熱性能があれば確保できますが, 柱の座 屈(非損傷性) は加熱方向に対する柱と断熱材と の位置関係に依存します。

断熱材と柱の座屈(非損傷性)との関係性について,充填断熱材は,断熱材より加熱側では柱の燃え進みを促進しますが,柱側面では柱を被覆・保護する二面性があり,ロックウール断熱材を用いた場合は,非損傷性は向上する結果となりました。一方,外張(付加)断熱材は,屋外加熱に対しては柱を被覆・保護して,非損傷性を向上させますが,屋内加熱に対しては,充填断熱材がない

場合, 非加熱側への放熱を妨げて非損傷性を低下させます。また屋内加熱時, 外張(付加) 断熱層の横桟材は柱を支えて性能向上に寄与することがわかりました。次報では, グラスウール断熱材や発泡プラスチック断熱材を用いた場合として, 断熱材の溶融や熱分解, 燃焼等が防火性能に及ぼす影響について報告します。

なお、本稿は、(地独) 北海道立総合研究機構 建築研究本部 北方建築総合研究所と断熱材メーカー6団体 (ウレタンフォーム工業会、押出発泡ポリスチレン工業会、硝子繊維協会、発泡スチロール協会、フェノールフォーム協会、ロックウール工業会) との共同研究「木造高断熱壁体の防耐火性能の実大試験検証と評価手法の提案」(2014 ~ 2016年度)の成果を中心に、これまでの北方建築総合研究所における防火研究の成果をまとめたものです。

#### 参考文献

1) (地独) 北海道立総合研究機構: 防火性能試験・評価業務 方法書.

#### 筆者紹介

#### 糸毛 治

地方独立行政法人 北海道立総合研究機構 建築研究本部 北方建築総合研究所 建築研究部 建築システムグループ 主査 (建築技術) 兼 建築性能試験センター 安全性能部 評価試験課 主査 (防耐火)



防火構造・防火材料の性能評価機関の ひとつとして性能評価業務に携わるとと もに、主に、木造住宅の高断熱外壁と防 火に関する研究に取り組む。

# TOMBO™ No.5520-D 「マキベエ®ダンネツ」採用事例

建材事業本部 技術開発部

#### 1. は じ め に

不燃断熱材TOMBO™ No.5520-D「マキベエ®ダン ネツ」は、鉄骨柱・はりの耐火被覆材TOMBO™ No.5520「マキベエ®」の優れた断熱性、不燃性を 生かし、断熱用途向けに開発した製品です。主に 事務所ビルや店舗などの非住宅建築物において. 防火上・火災安全上の観点から、可燃物である現 場発泡ウレタンが使用できない部位に使用されて います。ニチアス技術時報 No.367(2014)では、「マ キベエダンネツ」の製品仕様・用途をご紹介いた しましたが、販売開始から5年が経過し、当初想 定しておりました防火性が要求される部位の断熱 用途以外でもご採用いただくことが多くなりまし た。そこで本稿では、「マキベエダンネツ」の防 火性が要求される部位での採用事例と防火用途以 外での採用事例について、採用理由を交えてご紹 介いたします。

#### 2. 製品の概要

「マキベエダンネツ」は、不織布補強アルミポリエステルフィルム(以下、不織布貼りALP)、

耐熱ロックウール,不織布の3層から構成されています。3層はそれぞれ異なる機能を有しており,不織布貼りALPは防湿性,耐熱ロックウールは断熱性,不織布は施工性を担っています。図1に製品外観を,表1に製品仕様を示します。

「マキベエダンネツ」の物性値を**表2**に、吸音特性を**図2**に示します。



図1 製品外観

表1 製品仕様

厚さ (mm)	幅×長さ(mm)	梱包形態	不燃認定	ホルムアルデヒド放散等級
25	925 × 8000	ロール	NM-4117	MFN-2898
50	925 × 4000	J — U — JV	NW-4117	(F☆☆☆☆*)

<sup>※</sup>ホルムアルデヒド発散建築材料の放散速度に応じて分類される等級。F☆☆☆☆はホルムアルデヒドの放散量が少なく内装仕上げの面積制限を受けることなく使用できます。

表2 物性値

項目	規格値
熱伝導率* (W/(m·K))	0.034以下
不織布貼りALPの透湿抵抗 (× 10³m²・s·Pa/ng)	82以上(JIS A6930相当)

※25℃ ± 2℃, 25mm 品にて測定

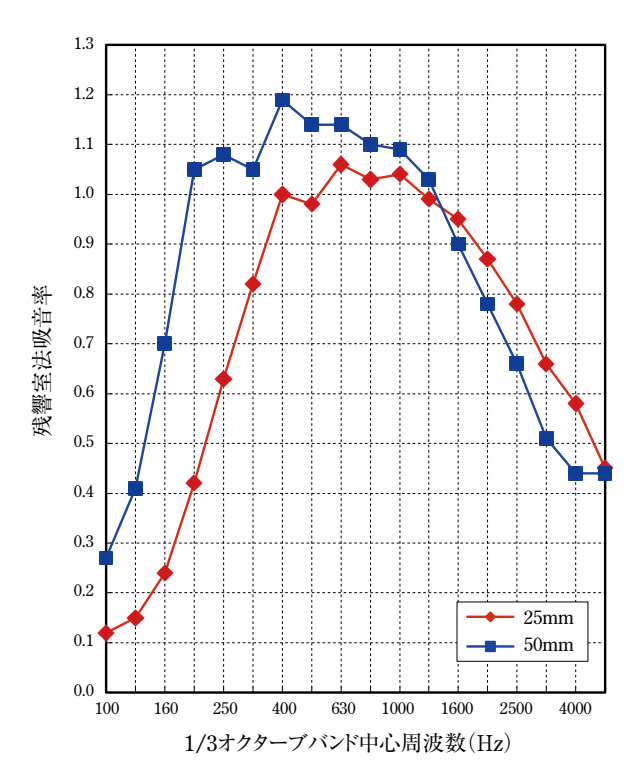


図2 吸音特性

#### 3. 防火性が要求される部位での採用事例

地下駐車場やエレベータシャフトのように断熱性と防火性の両方が求められる部位では、現場発泡ウレタンを施工した後に表面に不燃処理を施す工事(以下、ウレタン不燃コート)を行うことが一般的です。ウレタン不燃コートでは、現場発泡ウレタン施工用の専用機械の準備やその設置場所の確保が必要なこと、専用機械の搬入・搬出に手間がかかることに加え、仕上げの不燃処理も行わなければならないため、工程が複雑になるという問題があります。

一方,「マキベエダンネツ」は、素材自体が不 燃材料であるため、不燃処理は不要です。また. 専用の機械が不要で施工が容易であること,吹付け作業がなく現場を汚さないことが評価され,ウレタン不燃コートに代わりご採用いただくことが増えています。

#### 4. 防火用途以外での採用事例

#### 4.1 機械室の断熱吸音用途

オフィスビルでは、機械室の壁や床の断熱吸音 用途でよくご採用いただいています(図3)。



図3 機械室の断熱吸音用途での施工例

断熱吸音用途には一般的にグラスウール吸音板が使用されておりますが、グラスウール吸音板の表面は意匠目的でガラスクロスが施されており、防湿性は考慮されていません。このため、使用箇所によってはコンクリートと吸音板の界面で内部結露が生じることがあり、吸音板が吸水することによる性能劣化や表面にシミが広がることによる意匠性の低下が問題となります(図4)。

これに対し、「マキベエダンネツ」の表面材は 防湿層となっているため、断熱材内部への湿気の 流入を防止し、内部結露の発生を抑制することが できます。防湿層の有無による内部結露発生有無 のイメージを図5に示します。

グラスウール吸音板で結露を防止するには、 コンクリートに断熱層となる現場発泡ウレタンを 施工した上から、グラスウール吸音板を施工する 方法がありますが、複数工程の工事を要するため コスト増につながります。また、ウレタン上にグ



図4 グラスウール吸音板の内部結露によって発生した表面シミ

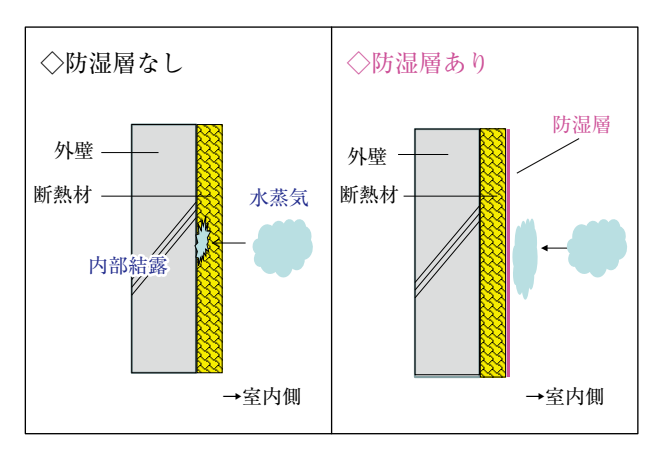


図5 内部結露発生有無のイメージ (防湿層なし, 防湿層あり)

ラスウール吸音板を施工する方法では、コンク リートに直接固定できないため、吸音板を壁に留 め付ける保持力が低下する問題があります。

そこで、断熱層と防湿層が一体で施工が容易な

「マキベエダンネツ」を用いることにより、上記の問題が解決される上、断熱層の厚みを薄くできることから室内空間の確保にもつながるという利点もあり、ご好評をいただいています。実際に、グラスウール吸音板仕様から「マキベエダンネツ」仕様にご変更いただいた例を図6に示します。

#### 4.2 フリーアクセスフロア下の断熱用途

フリーアクセスフロアとは、オフィスでの配線を格納できるように床下に空間を設けた二重床構造のフロアシステムです。弊社では製造・販売・施工までを一貫して行っております。

近年のビル建築においては、**図7**に示すような 床下空調を設置してこのフリーアクセスフロア下 を空調し、室内温度を制御する建物が増えていま

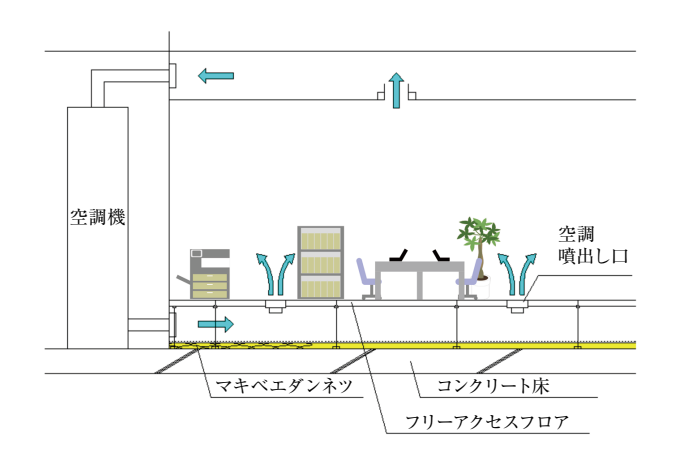


図7 床下空調

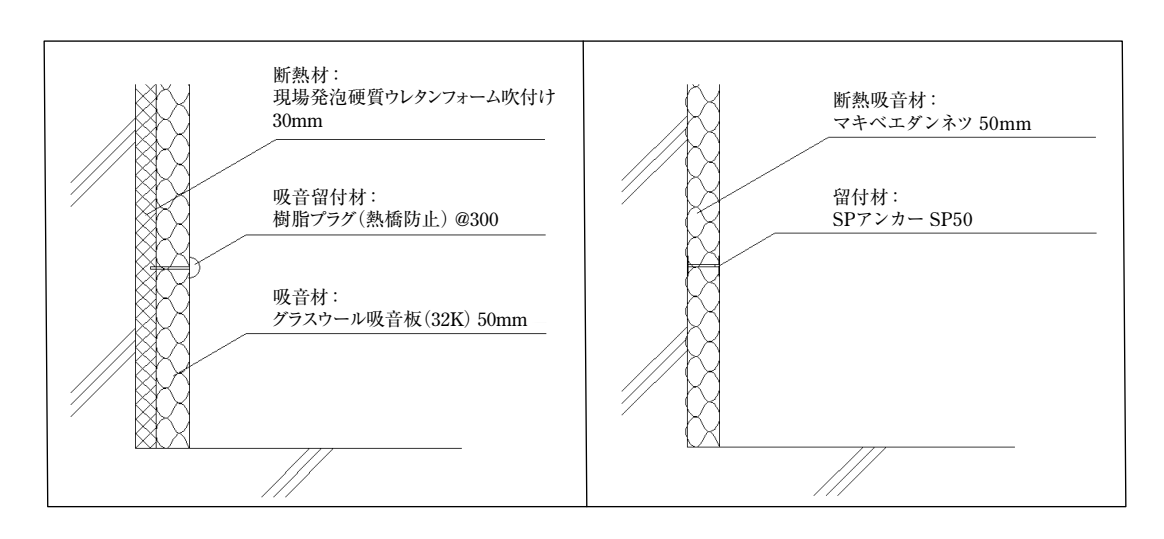


図6 現場発泡ウレタン+グラスウール吸音板(左)から、マキベエダンネツ(右)に仕様変更した事例

す。床下空調の建物では空調の熱が躯体側へ逃げ ないように断熱処理を行う必要があります。

これまで実際の施工現場では、弊社がフリーア クセスフロアの敷設工事を完了させた後に、断熱 工事業者がフリーアクセスフロアを一度外して断 熱工事を行い, 再びフリーアクセスフロアを敷設 し直す工程の手戻りが施工上の問題点となってい ました。しかし、「マキベエダンネツ」の上市に より、弊社がフリーアクセスフロア工事と同時に、 断熱工事もセットで行うことが可能になりまし た。これにより、工程の分断による手戻りがなく なるだけでなく、お客様には弊社1社でフリーア クセスフロア工事と断熱工事をご依頼いただける ようになったため、施工管理が容易で、現場担当 者様の負担も軽減されるというメリットも生ま れ、ご好評いただいています。図8には「マキベ エダンネツ」を断熱材に用いたフリーアクセスフ ロアの施工例を示します。



「マキベエダンネツ」を断熱材に用いたフリーアクセスフロア の施工例

#### 5. 今後の展望

現在、建築業界全体が施工者不足であり、特に 施工技量を持ったベテランの技能工は減少傾向に あります。現場発泡ウレタンは、施工時に性能が 決まる製品のため、被施工面であるコンクリート の温度管理, 施工時の発泡倍率管理, 均一に吹き 付けられる技量などが総合的に求められます。「マ キベエダンネツーのような工場生産で性能・品質 が安定しており、施工技量に頼らない製品の需要 はますます増加すると考えられます。また. 今後 も吸音性を生かした断熱吸音用途. 工程管理の容 易さを生かした他工事とのセット工事のように, 「マキベエダンネツ」の使い勝手の良さを生かし た新たな用途開発も進めていく所存です。

#### 6. お わ り に

本稿では、不燃断熱材「マキベエダンネツ」の 採用事例を中心にご紹介しました。本稿が非住宅 建築物における不燃断熱材普及と新たな用途開発 の一助となれば幸いです。本製品に関するお問い 合わせは、建材事業本部技術開発部までお願いい たします。

- \*「TOMBO」はニチアス㈱の商標または登録商標です。
- \*「マキベエ」はニチアス(株)の登録商標です。

## ニチアスにおける断熱材の高温熱伝導率測定

#### 部 直 毅 团 研究開発本部 浜松研究所

#### 1. は じ め に

ニチアスの「断つ・保つ」技術要素のひとつで ある「断熱」技術は、世界規模で高まりをみせる 省エネルギー化やCO₂排出量削減などの課題に対 して大きな役割を担う技術である。当社は断熱材 メーカーとして図1に示す通り、極低温から 1500℃を超える高温域で使用される断熱材をラ インアップし、幅広い業界で「断熱」技術を支え

てきた。本稿の主題である熱伝導率はこれら製品 の性能を示す指標である。

熱伝導率とは材料内部の熱の伝わりやすさを示 す材料特性であり、熱伝導率が低いものほど熱が 伝わり難い、つまり断熱性能が高いことを示す。 断熱材メーカーだけでなく、ユーザーにとっても 製品評価や熱設計を行う場面において、熱伝導率 はなくてはならない材料特性である。

熱伝導率は断熱材を構成する材質が同じであっ

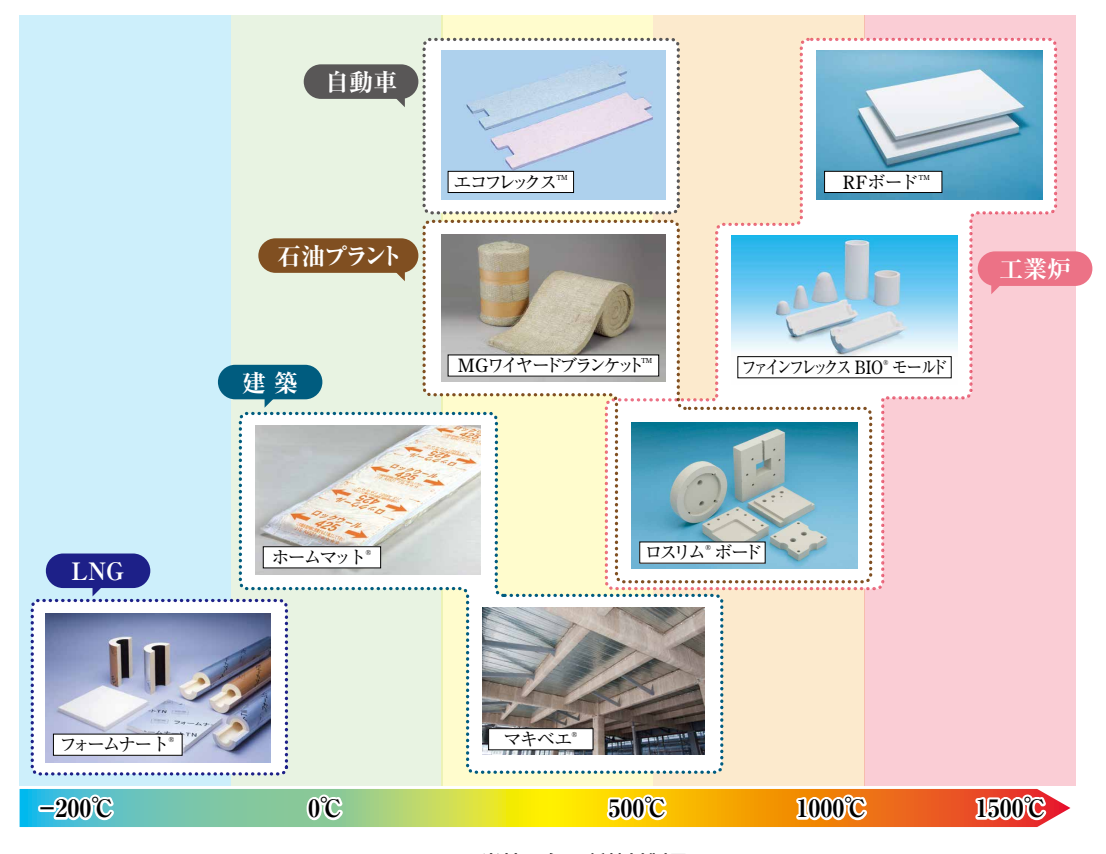


図1 当社の主な断熱材製品

ても、骨格となる材料の形状や結晶状態、空隙の 占有比率やサイズなど、構造の微細な違いによっ て変化する。また、温度などの使用環境にも大き な影響を受けるため、製品や仕様ごと、使用環境 に合わせた適切な測定が求められる。

幅広い断熱材ラインアップを持つ当社では、研 究開発から品質管理まで、 すべてのステージで重 要な材料特性となる熱伝導率に関して、その測定 環境を拡充してきた。当社には、プラントや工業 炉など、高温域で使用される断熱材の要求が多く よせられる。また、航空宇宙分野などからは真空 下で使用される断熱材の要求もあるため、さまざ まな熱伝導率測定環境に対応できる体制を整えて いる。

本稿では、当社における高温熱伝導率測定に関 して測定事例を添えて紹介する。

#### 2. 高温熱伝導率測定方法と原理

#### 2.1 当社における高温熱伝導率測定

熱伝導率の測定方法は、定常法と非定常法に大 別される。一般的な測定方法を図2に示す1)。

定常法とは、試験体に一次元方向の定常熱流を 与え,試験体の温度勾配から熱伝導率を直接求め る方法である。これに対して非定常法は. 試験体 を加熱した際の温度変化から主に熱拡散率を求め る。試験体の比熱と密度と熱拡散率の積から熱伝 導率を間接的に求める方法である。

当社の熱伝導率測定は、保護熱板法 (Guarded

Hot Plate method, 以下GHP法), 熱流計法, 周 期加熱法、熱線法の4種の手法を用いている。そ れぞれ、特徴に合わせて使い分けをしているが、 特に高温での熱伝導率測定に広く活用されている GHP法と周期加熱法について、その利用法と簡 単な測定原理を説明する。

#### 2.2 保護熱板法 (GHP法)

GHP法は断熱材の熱伝導率測定方法として国 際的に規格化されている絶対法である。当社でも, ロックウールやけい酸カルシウム板といった汎用 断熱材をはじめとした. 幅広い高温断熱材製品の 測定に利用している。しかしながら、当社の装置 では試験体サイズが大きい (300mm φ), 常用の 測定上限温度が600℃であるなど制約も多く、製 品の品質管理には好適だが、研究開発用途には不 向きな面もある測定法である。

#### 「測定原理」

GHP法は、平板試験体の厚さd [m] 方向に一 次元定常熱流を与え、その時の熱流量Q[W], 熱流面積S  $[m^2]$ . 試験体の厚さ方向の温度差 $\Delta\theta$ [℃] から, 熱伝導率 $\lambda$  [W/(m·K)] を (1) 式 より求める方法である。

$$\lambda = \frac{Q \cdot d}{S \cdot \Delta \theta} \tag{1}$$

GHP法には試験体2枚方式と1枚方式があるが、 標準的な2枚方式の模式図を図3に示す。(1) 式 に示した熱流量 Qは、加熱板(主熱板)の発熱量 から求めるため、ここで発生した熱は、冷却熱板

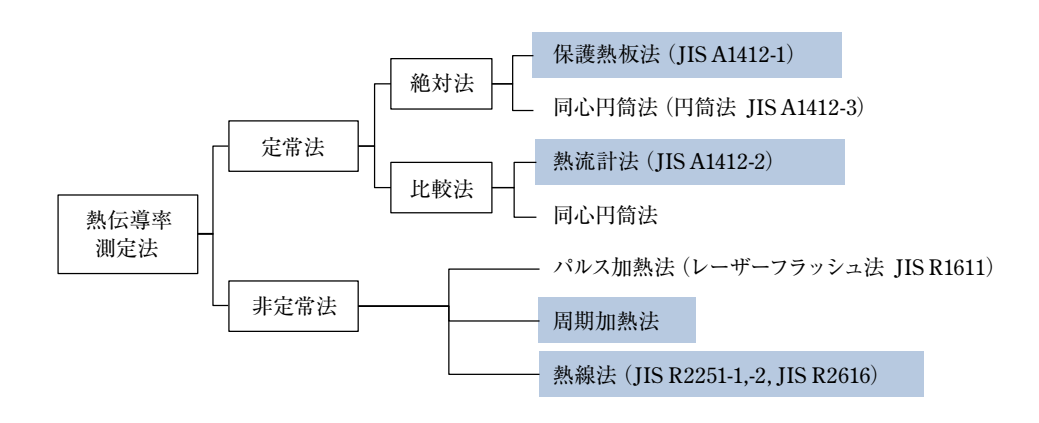


図2 一般的な熱伝導率測定方法

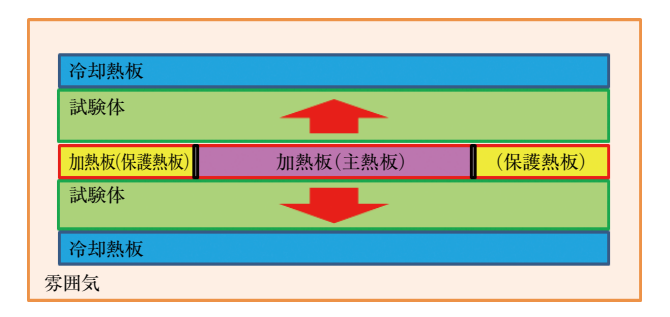


図3 GHP法の模式図(2枚方式)

方向への一次元熱流であることが求められる。加 熱板(主熱板)から側面方向への熱流の拡散を防 ぐために、加熱板(主熱板)の周囲に同じ温度に 制御された加熱板(保護熱板:Guarded Hot Plate)を配しているのが本装置の特徴である。

#### 2.3 周期加熱法

金属の熱物性測定に古くから用いられてきた周 期加熱法の原理を応用して、当社は断熱材のよう な多孔質材料の測定ができる装置を独自開発し た。本装置では、GHP法の測定限界を超えた高 温域の測定や、研究開発用途に適した小サイズの 試験体の測定も可能とした。また、装置構造を単 純化することにより、真空下における測定など、 拡張性も高い装置となっている。次章では本測定 法の測定事例についても紹介する。

#### [測定原理]

周期加熱法の模式図と温度波形を図4に示す。 周期加熱法では、試験体の上下面にヒーターを

設置し、上部ヒーターにより厚さ方向に周期的な 温度変動を与え、下部ヒーターにより下面を一定 温度に制御する。この時、試験体上面から中間面 に温度変動が伝播する際、位相差(時間差)を生 じる。周期加熱法では、この位相差から熱拡散率 を求め、別途求めた比熱と密度との積から熱伝導 率を算出する。

試験体の全体厚さを d [m], 下側の試験体厚さ ex[m] とすると、位相差 $\phi$  [rad] は、次式で表 される。

$$\phi = \arg\left\{\frac{\sinh\kappa x \ (1+i)}{\sinh\kappa d \ (1+i)}\right\} \tag{2}$$

$$\kappa = \sqrt{\frac{\omega}{2a}} \tag{3}$$

ここで,  $\kappa$  [m<sup>-1</sup>] は減衰係数, i は虚数であり,  $\omega$  [s<sup>-1</sup>] は角振動数, a [m<sup>2</sup>/s] は熱拡散率である。 f[s] を周期とすると、 $\omega$ は次式で表される<sup>2</sup>。

$$\omega = \frac{2\pi}{f} \tag{4}$$

以上から、測定した位相差を(2)式に代入する ことで減衰係数を求め、(3) 式に代入して熱拡散率 を得る<sup>3</sup>。 さらに熱伝導率 λ [W/(m·K)] を (5) 式から求める。c [J/(kg·K)] は比熱,  $\rho$  [kg/m³] は密度である。

$$\lambda = \rho \cdot c \cdot a \tag{5}$$

当社が保有するGHP法装置と周期加熱法装置 の特徴を表1にまとめて示す。測定の目的や用途. 材料などから適切な測定方法を選定している。

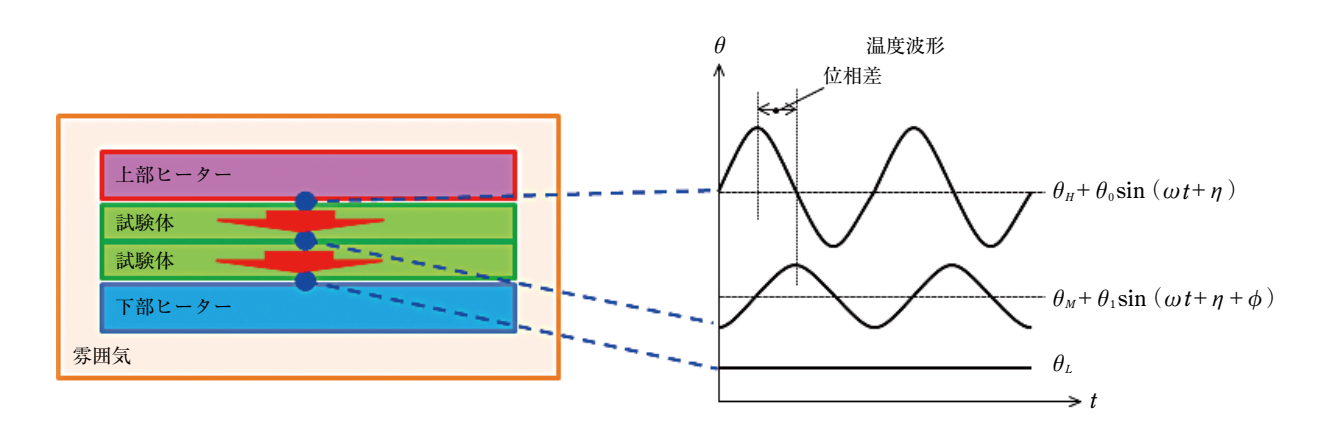


図4 周期加熱法の模式図と温度波形

測定方法		GHP法	周期加熱法
	JIS	A 1412-1	_
規格	ISO	8302	ISO/WD21901*
	ASTM	C177	_
測定温度範囲(常用)	[°]	~ 600	~ 1000
<b>彦</b> 岡左尺士	大気圧下	0	0
雰囲気圧力	真空下	×	0
試験体サイズ	[mm]	$300~\phi$	□ 125 × 125 □ 300 × 300
測定熱伝導率範囲	[W/(m·K)]	~ 0.2	~ 2.0
主に適用される試験体		ロックウール製品 けい酸カルシウム板	高温耐熱ボード 低熱伝導ボード

表1 当社のGHP法装置と周期加熱法装置の特徴

※ (一財) 建材試験センターが中心となり測定方法の国際標準化を推進中

#### 3. 当社における高温熱伝導率の測定例

本章では独自開発した周期加熱法装置による測 定例を紹介する。GHP法では測定範囲外となる 1000℃までの高温域における測定と、拡張事例と して真空下での測定結果を示し、そこから得られ る情報の有用性について解説する。

#### 3.1 高温耐熱ボードの測定例

高温熱伝導率の測定例で使用した、当社の高温 耐熱ボードXおよびY(以下、ボードXおよびボー ドY) の概要を**表2**に示す。

2種類の試験体は構成材料が同じであるが、配 合比率を変えることで異なる密度になっている。 本試験体の100~600℃におけるGHP法および 200 ~ 1000℃における周期加熱法による熱伝導率 測定結果を図5に示す。

各試験体について, GHP法と周期加熱法による

測定結果を比較すると, GHP法の上限温度である 600℃までは両装置による熱伝導率はほぼ一致し ている。周期加熱法でさらに高温まで測定した結 果を見ると、試験体2種類の熱伝導率が800℃以 上で高低逆転していることが観察できる。

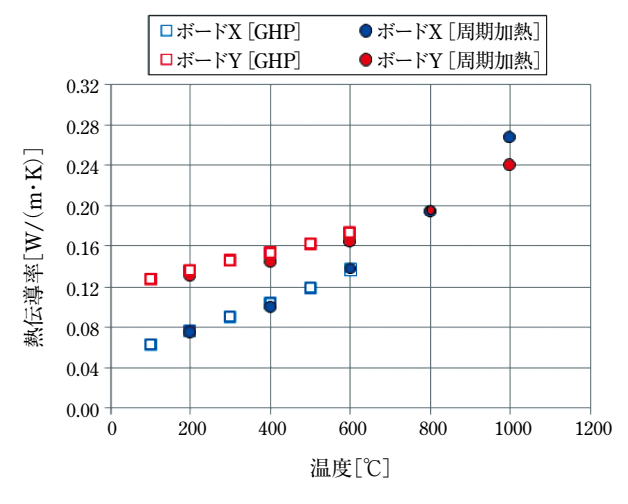


図5 高温耐熱ボードの熱伝導率

主っ	試験休の概算	<b>5</b>

名称		ボードX	ボードY
構成材料		アルミナファイバー アルミナ粉末 有機および無機バインダー	同左
嵩密度 [kg/m³]		200	400
空隙/固体の体積比率 [%]		95 / 5	90 / 10
サイズ [mm]	GHP法	300 φ, 25 <sup>t</sup> (2枚)	同左
71 A [mm]	周期加熱法	300×300, 25 <sup>t</sup> (2枚)	同左

これは2つの耐熱ボードの密度差から、ふく射 伝熱の上昇傾向に差異を生じたことによる現象で あるが、断熱材では、このような温度域で熱伝導 率が逆転する事例は多く見受けられる。本装置を 用いて広い温度域を測定できることは,温度で変 化する熱伝導率の挙動を的確に捉え,確度の高い 製品選定や熱設計につながる有用な情報が得られ る。当社ではさらなる高温域の測定を目指して測 定法の研究を進めている。

#### 3.2 周期加熱法による真空下における測定例

近年、航空宇宙に代表される特殊な産業分野か ら、真空下における高温熱伝導率の測定要求がよ せられている。この要求に応えることは、単にお 客様からの直接的なニーズに応えるだけでなく, 当社の断熱材開発に大きな役割を果たしているこ とを紹介する。

測定例として、前述のボードXの大気圧下およ び真空下 (10Pa) における熱伝導率測定結果を図 6に示す。本測定では、前述した装置とは異なり、 125×125×10<sup>t</sup>mmの試験体を2枚使用し、同一 試験体で圧力条件のみを変更している。

ボードXの真空下の熱伝導率は、大気圧下に比 べ200℃で70%, 1000℃では40%低下している。

このように、真空下では気体伝導伝熱が排除さ れるため大気圧下に対して熱伝導率が低下するこ とは一般的にもよく知られた現象である。当社で はこの測定結果をもとに、断熱材の各伝熱要素を

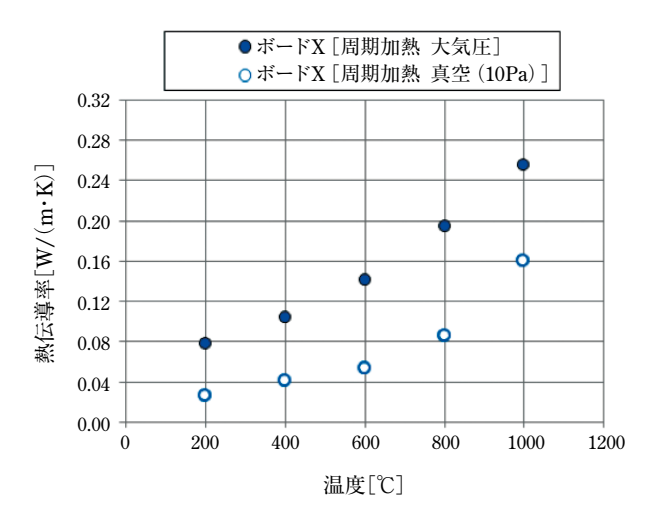


図6 大気圧下および真空下における熱伝導率の測定例

切り分けて近似式化することにより,断熱材の設 計に活用している。

まず、断熱材における伝熱要素を図7に示す4)。 断熱材の伝熱は、固体伝導、気体伝導およびふ く射による伝熱の総和である。したがって、断熱 材の熱伝導率λは次式で表される。

$$\lambda = \lambda_S + \lambda_G + \lambda_R \tag{6}$$

ここで、λsは固体伝導、λgは気体伝導、λg はふく射による伝熱に由来する熱伝導率を示して いる。当社では、固体伝導とふく射の伝熱要素の みを抽出した真空下の熱伝導率測定データから (6) 式を基に、断熱材の熱伝導率の近似式を導出 している500

$$\lambda = A \rho + \lambda_G + \frac{B}{\rho} T^3 \tag{7}$$

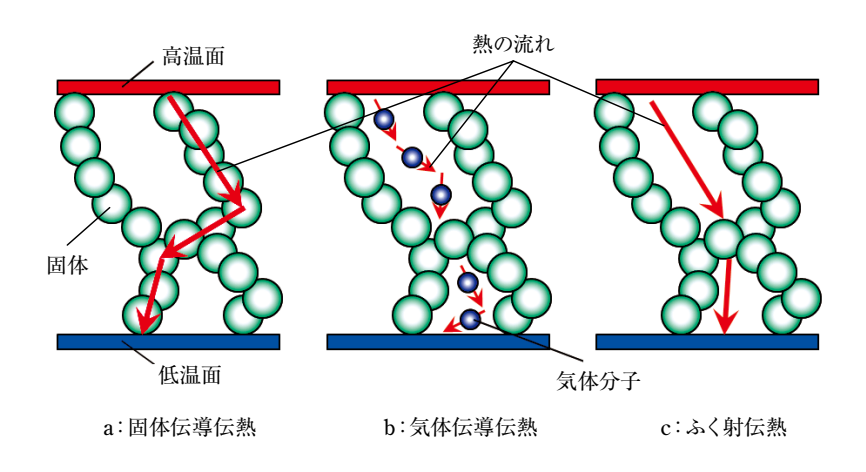


図7 断熱材における伝熱要素

- (7) 式の右辺第1項, 第2項および第3項は, (6) 式の各項に対応する熱伝導率を表す。Aは固体伝 導伝熱に関する係数、Bはふく射伝熱に関する係 数,  $\rho$  は密度 [kg/m³], Tは絶対温度 [K] である。
- (7) 式の近似式を使って各伝熱要素それぞれの 温度依存性を把握することは、断熱材の最適な材 料や構造を決定する上で有益な情報を与えてくれ るものである。当社における熱伝導率測定は、断熱 材の設計や開発を下支えする役割も果たしている。

#### 4. お わ り 12

当社では、熱伝導率測定に関して、測定精度の 向上, 測定範囲の拡大などの研究に継続的に取り 組んできた。今後もこの研究を加速させ、熱伝導 率測定を通して当社の断熱材開発や生産に寄与 し、さらにお客様の断熱技術をサポートしていく 所存である。

#### 参考文献

- 1) 熱物性値測定法,養賢堂,日本機械学会,1991,P2.
- 2) H. S. Carslaw, J. C. Jaeger: Conduction of Heat in Solids, OXFORD 105-106 (1959).
- 3) 大村:周期加熱法の低温下における熱伝導率測定への応用, ニチアス技術時報, 365, 20-24 (2014).
- 4) 安藤, 大利:断熱材低熱伝導化のためのふく射散乱材設計 技術, ニチアス技術時報, 371, 5-8 (2015).
- 5) 大村, 坪井, 小野寺, 富村, 繊維質断熱材の有効熱伝導 率に関する研究, 九州大学機能物質科学研究書報告, 16, 13-17 (2002).



#### 阿部 直毅

研究開発本部 浜松研究所 断熱材の熱伝導測定に関する研究に従事

### 特化則\*適用対象外の耐熱性に優れたウール

アルカリアースシリケート(AES)ウール

ファインフレックスBIO®バルク ファインフレックスBIO®ブランケット ファインフレックスBIO®LTブランケット ファインフレックスBIO®ペーパーA/R/M ファインフレックスBIO®モールド ファインフレックスBIO®キャスト

ファインフレックスBIO®紡織品 (クロス、テープ、コード、ツイストロープ、ブレードロープ) ファインフレックスBIO®ボード





※特化則:特定化学物質障害予防規則 ※「ファインフレックスBIO」はニチアス(株)の登録商標です。

## 遊合形フランジ-ガスケットのCAE解析

工業製品事業本部 配管・機器部品技術開発部 衣 川 公 彦

#### 1. は じ め に

ガスケットは流体の漏れを防ぐため配管・機器 部品に使用されるシール材であり、石油精製・石 油化学、造船、電力、鉄鋼などあらゆる産業分野 で重要な役割を担っている。

漏れを防ぐためには適正にボルトを締付け、ガ スケットに必要な応力をかけることが重要であ る。応力が高すぎる場合、ガスケットが圧縮破壊 し. 漏れにつながる危険がある (図1)。

ガスケットにかかっている応力(以降ガスケッ ト応力)を実測することは難しく、ガスケット応 力の把握に近年ではCAE(Computer Aided Engineering:コンピュータ支援工学)による解析を 活用している。

そこで本稿ではCAE解析を使ったシミュレー ションにより、どのような場合にガスケットの圧縮 破壊が起きやすく、何に注意すべきかを検討した。



A:未使用品



B: 圧縮破壊品

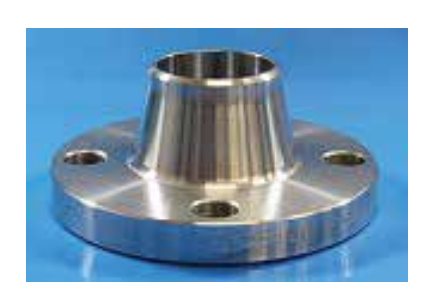
図1 圧縮破壊したガスケット

#### 2. ガスケットとフランジ

ガスケットはフランジに挟みボルト. ナットな どで締付けて使用される。

フランジにはJIS規格、JPI規格をはじめ各種規 格がありフランジの種類も溶接式フランジや遊合 形フランジなどがある(図2)。さらに圧力ごとに さまざまな寸法があり, 各種用途に応じて適宜選 定されている。

フランジは、ボルトの締付けにより、図3のよ うに若干のたわみが生じている。これをフランジ ローテーションという。そのため、図の赤矢印で 示すガスケット応力は、外径側が高く、内径側が 低くなる。



A: 溶接式フランジ



B:遊合形フランジ

図2 フランジ各種

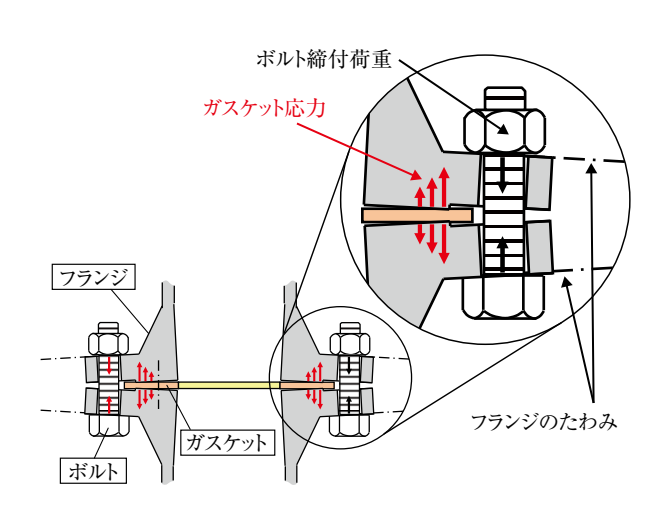


図3 フランジローテーション

本稿では遊合形フランジを使用する際、どのよ うな場合に圧縮破壊が起きやすいか、また使用の 注意点はどのようなことがあるかCAE解析を用 いて検討することとした。

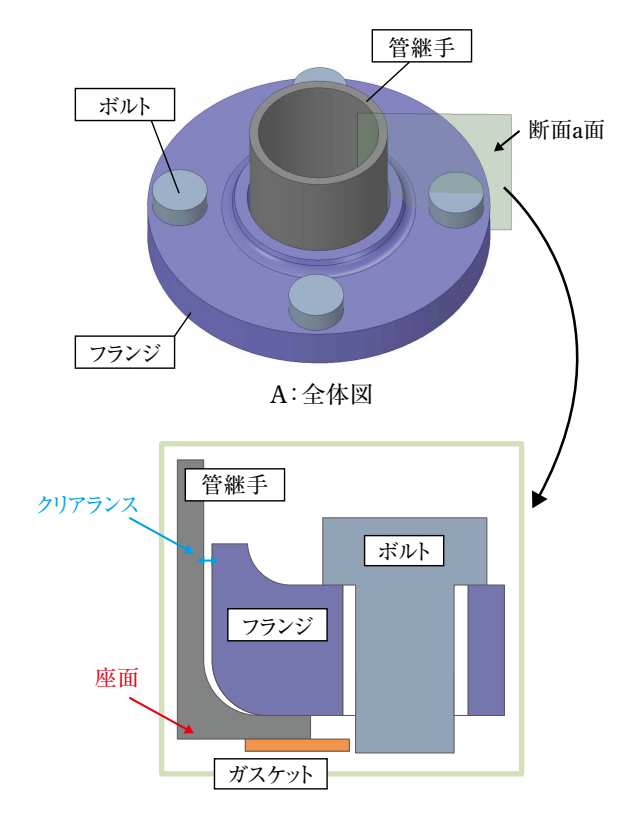
#### 3. 遊合形フランジの特徴

遊合形フランジの構造を図4に示す。遊合形フ ランジは座面を形成する管継手と組み合わせて使 用される。フランジと管継手が分離する構造であ り. フランジが自由に回転するため施工性が良い。 また両部材間にはクリアランスが存在する。

フランジの材質を変えることもでき、経済的な メリットもある。

この遊合形フランジで使用される管継手には石 油精製や石油化学などのプラントで使用される スタブエンドとビル設備などの建築業界で使用さ れるつば出し配管の2種類があり、構造が異なる (図5)。

スタブエンドは座面まで切削加工で作製される ので、寸法精度などは高い。つば出し配管は配管 端部をつば出し加工し座面を作製するため、内径 側にRが存在する。また寸法精度が低く、座面に 角度がつきやすく、座面角度には許容差が設定さ れている (図6)。



B:断面図(断面a面)

図4 遊合形フランジの構造

	座	スタブエンド	つば出し配管
	規格	JIS B 2220, JPI-7S-15	SAS 363
図	全体	スタブエンド	つば出し配管
	座		
座の	加工方法	切削加工	つば出し加工
規格値	管継手 内径側のR	-	1~4
値	座面角度	0°	± 1°

図5 遊合形フランジの管継手種類

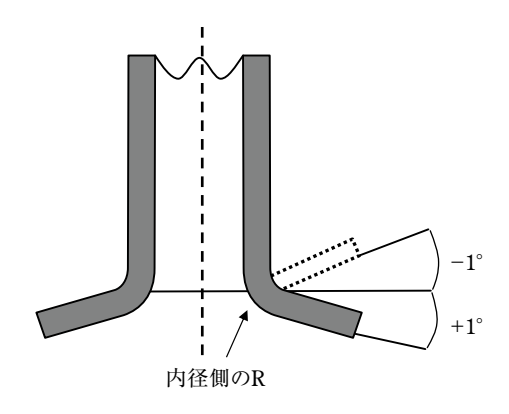


図6 つば出し配管の構造と座面角度の許容差

#### 4. CAE解析モデル

一般的に使用される溶接式フランジと遊合形フ ランジについてガスケット応力およびフランジ, 管継手の応力,変形挙動をCAEで解析した。

遊合形フランジにおいては、管継手の内径側に Rがなく,座面に角度がつかない「スタブエンド」, 管継手内径側にRがあり座面に角度がつきやすい 「つば出し配管」の管継手について解析を行った。 解析したフランジと管継手の組み合わせを表1に 示す。

表1 フランジと管継手の組み合わせ

モデル名称	溶接式	遊合形①	遊合形②	遊合形③		
フランジ	溶接式	遊合形				
管継手	_	スタブエンド	つば出	し配管		
管継手 内径側のR	-	-		あり		
座面角度	_	な	L	あり		

解析は、ジョイントシートの標準グレードであ るTOMBO™ No.1995で、締付けはガスケット応 力34.3N/mm<sup>2</sup>になる荷重をボルトに負荷させた モデルで行った。管継手およびガスケットの位置 は遊合形フランジの中央とした。つば出し配管の 座面角度は、規格値を越えてつば出し加工がされ る可能性があることを想定し5°と設定した。詳細 な解析条件を表2に示す。

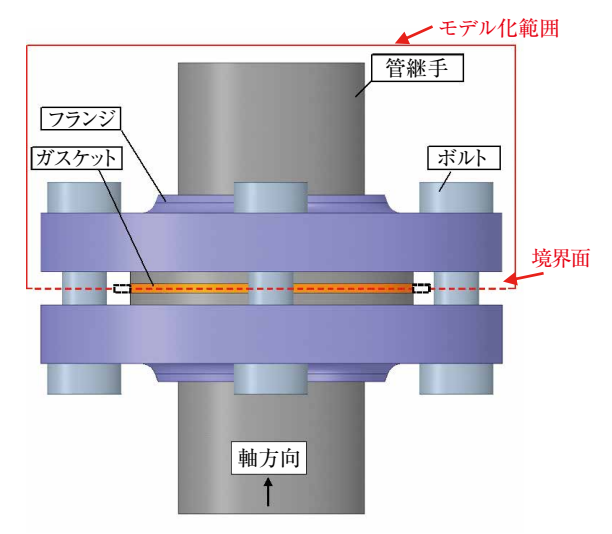
図7にCAE解析モデルを示す。

解析モデルは、軸方向の対称性を考慮し半分の みモデル化し(図7A), ガスケットは管継手と接 触する部分だけをモデル化した(図7B)。以降, この部分を解析部位と呼ぶ。解析結果で示すガス ケット応力はすべてこの解析部位の応力である。

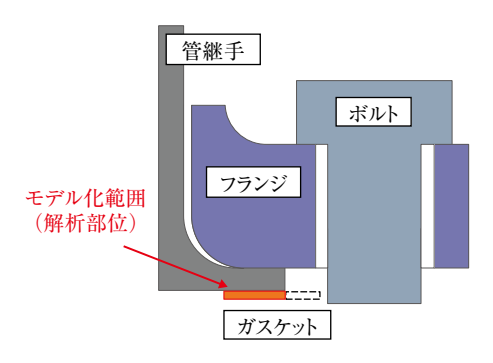
また、周方向に360°モデル化した三次元モデル とした (図7C)。

表2 CAE解析条件

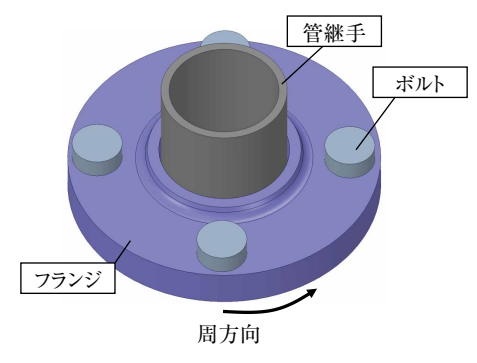
モデル名称		溶接式	遊合形①	遊合形②	遊合形③	
フランジ -	種類	溶接式	遊合形			
	材料	SFVC2A				
管継手	種類	_	スタブエンド つば出し配管		し配管	
	材料	_	SUS 304			
	厚さ	_	Sch40			
	内径側のR	_	_	- 5.9		
	座面角度	_	0°		5°	
ボルト	サイズ	$M16 \times 4pc$				
	材料	SNB7				
ガスケット	製品	TOMBO™ No.1995				
	厚さ	3mm				
フランジと管継手のクリアランス		_	1.1			
サイズ		JPI Class150 2B		JIS 10K 50A		
締付方法		ボルト4本を同時に締付け				
ボルト総締付荷重 [kN]		84.8		80.8		
CAE解析ソフト		ANSYS				



A: 遊合形フランジ締結体の構造



B: ガスケットのモデル化部分



C: CAE解析モデル

図7 CAE解析モデル

## 5. CAE解析結果

CAE解析結果を図8に示す。

ガスケットにかかる最大応力は、以下の順で あった。

溶接式<遊合形①<遊合形②≪遊合形③

モデル	ガスケット応力 N/mm²		ガスケット応力分布	
名称	最大	最小		
溶接式	36.7	32.5	がスケット 50 50 45 40 35 30 25 20 15 10 5 0 N/mm <sup>2</sup>	
遊合形①	36.9	30.2	ガスケット 15.75 50 45 45 45 47 位置 35 30 25 20 15 15 10 N/mm <sup>2</sup>	
遊合形②	43.9	0.0	ガスケット 15.72 50 45 40 35 35 30 25 20 15 10 0 N/mm <sup>2</sup>	
遊合形③	126.6	0.0	ボスケット 15.7 140 120 100 80 60 40 20 0 N/mm <sup>2</sup>	

※遊合形③のみコンター図のレンジを変更しています。

図8 CAE解析結果

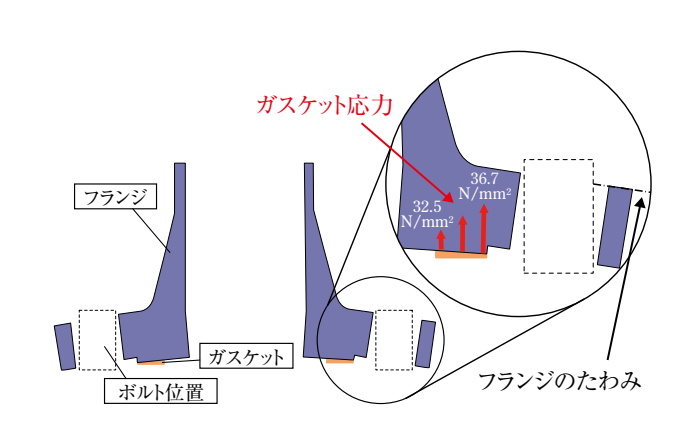


図9 溶接式フランジの変形図(変形倍率100倍)

いずれもガスケットの最大応力部は、座面の外 周側であり、ガスケットに均一に締付け応力がか かっていない。

溶接式フランジの変形図を図9に示す(ガスケッ トは解析による変形図ではなく模式図として表示

している)。図3で示した通り、ボルトの締付けに より、フランジがたわむ、フランジローテーション が起こっていることが分かる。フランジローテー ションが起こることによりガスケットの外径側が より強い圧縮を受けるためガスケット応力が最大 (36.7N/mm<sup>2</sup>) となり, 逆に内径側は最小 (32.5N/ mm²)となっている。

座面外周側のガスケット応力が高くなっていた のは、このフランジローテーションの影響を受け ていたためといえる。

また、遊合形②、③では、最小ガスケット応力 が0.0N/mm<sup>2</sup>であり、応力が全くかかっていない 部位があり、溶接式や遊合形①よりも最大ガス ケット応力が高くなっている。特に遊合形③では、 最大ガスケット応力が126.6 N/mm<sup>2</sup>となっている。

遊合形①と②の解析部位とガスケット応力の関 係を図10に示す。

遊合形②の解析部位における内径側のガスケッ ト応力が低い部位を範囲A, 外径側のガスケット 応力が高い部位を範囲Bと呼ぶ。

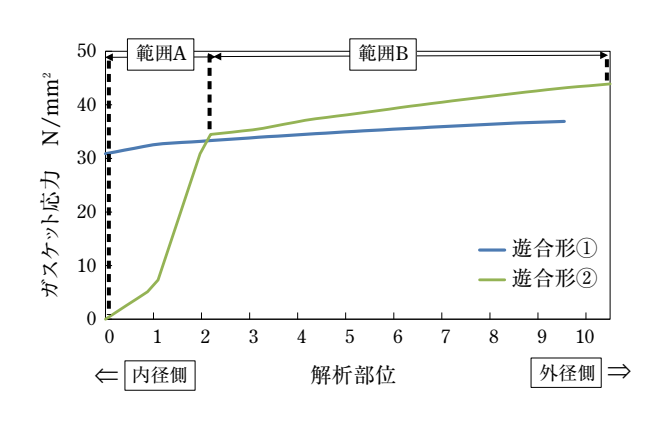


図10 解析部位とガスケット応力の関係(遊合形①, ②)

遊合形②は外径側の範囲Bに比べ、内径側の範 囲Aでガスケット応力が低くなっている。

遊合形②の解析部位と座面との位置(図11)を みると、範囲Aは、ガスケットがつば出し加工時に できる内径側のRの部位と接触する位置であった。

ガスケット-座面間でガスケット応力の小さい 部位があると、その分直線で接触している部位の ガスケット応力が高くなる。

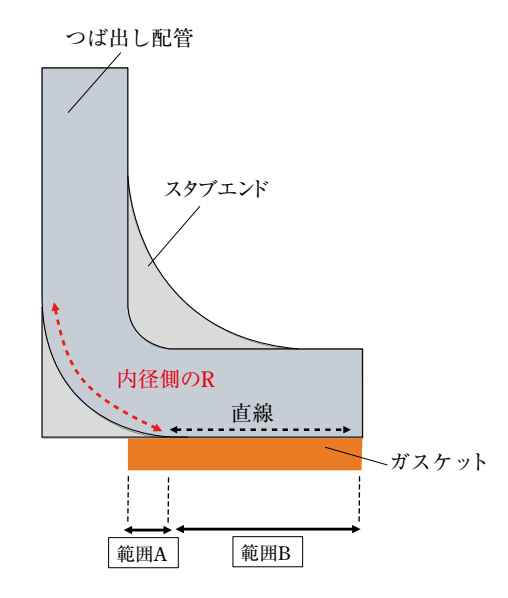


図11 解析部位と座面の位置

遊合形フランジでは、フランジと管継手の間に もクリアランスがある。また同様にガスケットお よびフランジがボルトとクリアランスがある分. 施工時の位置に自由度がある(図12)。

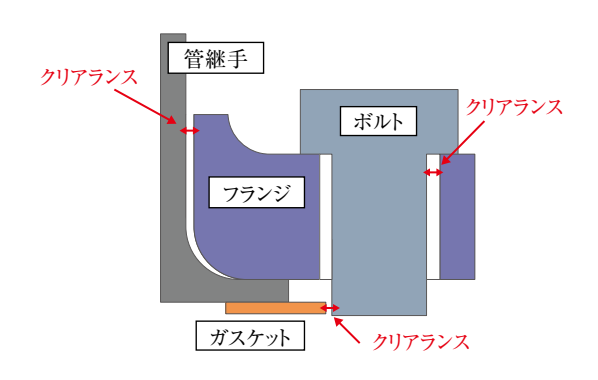
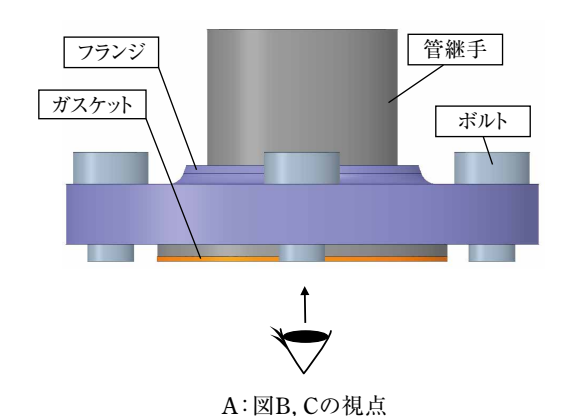
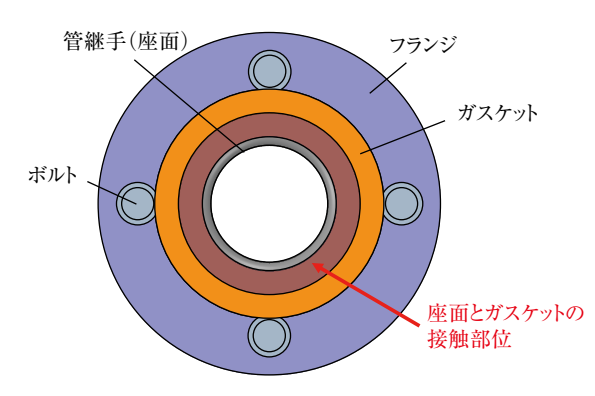


図12 遊合形フランジ締結体のクリアランス

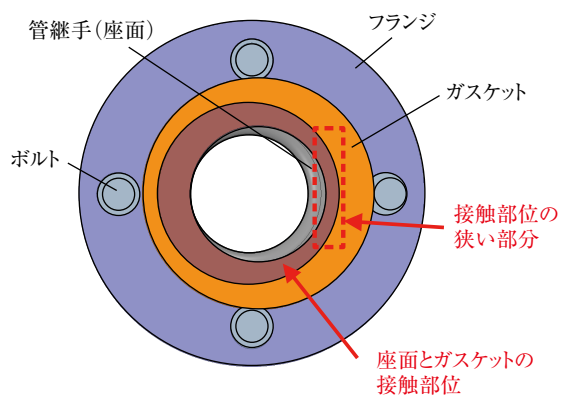
管継手、ガスケットが遊合形フランジの中心の 位置にある場合および位置がずれた場合の座面と ガスケットの接触部位を示す(図13B, C)。 なおこれらの図は図13Aに示す視点から見た図を 示している。

今回の解析では、管継手およびガスケットを遊 合形フランジの中心位置にして行っており、この 場合、座面とガスケットは均等に接触する(図 13B)。一方で施工時に管継手、ガスケットがフラン ジの中心からずれる場合(図13C)には、ガスケッ





B: 管継手が遊合形フランジの中心にある場合



C: 管継手、ガスケットが遊合形フランジの 中心からずれる場合

図13 ガスケットと座面の接触部位

ト-座面間の接触部位に狭い部分が発生し、極端 にガスケット応力が高い部位が発生することが 推測される。このため、遊合形フランジでは、圧 縮破壊が起こりやすい傾向があるものと推測さ れる。

遊合形②と③の解析部位とガスケット応力の関 係を図14に示す。

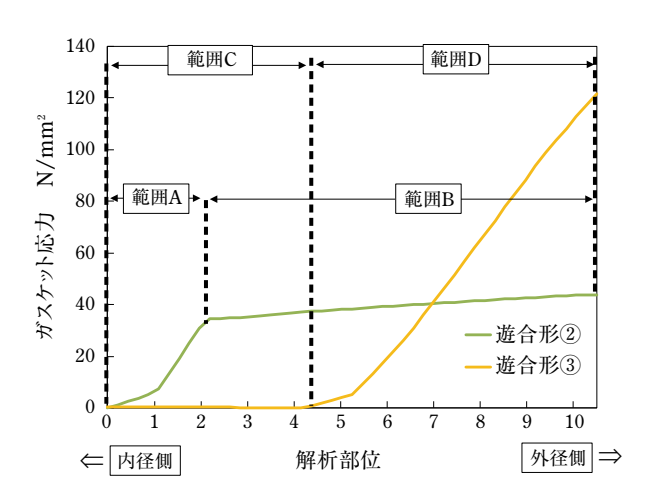


図14 解析部位とガスケット応力の関係(遊合形②,③)

遊合形②の範囲A,Bと同様に遊合形③の解析部 位における内径側のガスケット応力が低い部位を 範囲C, 外径側のガスケット応力が高い部位を範 囲Dと呼ぶ。

つば出し配管の座面に角度のついた遊合形③ は、内径側にガスケット応力が0.0N/mm<sup>2</sup>の範囲 Cがみられ、外径側の範囲Dでは外径側ほど応力 は高くなり、最大応力は126.6N/mm<sup>2</sup>であった。

座面に角度がついていると、ガスケットに均一 に応力がかからず、片当たりしてしまうため、こ のような極端なガスケット応力の差が発生する (図15)。

つば出し配管を使用する場合には、座面角度に 注意する必要がある。

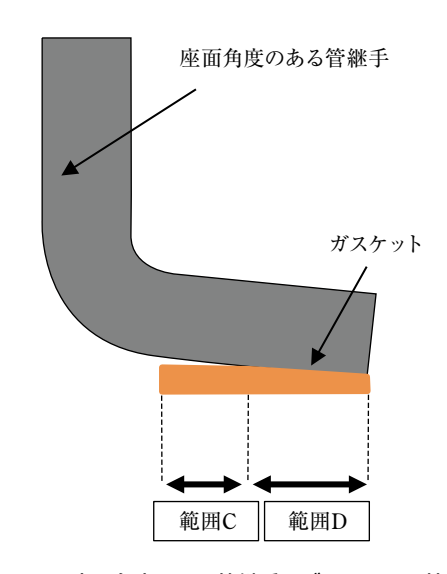


図15 座面角度のある管継手とガスケットの接触

以上の結果からCAE解析を使ったシミュレー ションにより、ガスケットが圧縮破壊しうる場合、 そしてその際の注意点について以下のことが分 かった。

- ・遊合形フランジはガスケット位置が偏りやすく, ガスケット応力が高くなり、圧縮破壊が起こり やすい。
- ・遊合型フランジを管継手の座面に角度がつきや すいつば出し配管と組み合わせて使用する場 合, 座面角度に注意が必要である。

#### 6. お わ り に

本稿ではCAE解析を使ったシミュレーション によりフランジ変形やガスケット応力を可視化す ることで、どのような場合にガスケットの圧縮破 壊が起きうるかを推定し、またその場合の注意点 を提示した。

今後も漏えいにつながる危険の高い条件として 今回は取り扱わなかった高温・低温下におけるフ ランジの変形やガスケット応力の挙動を明らかに するなどし、漏れのない安全な操業をするために はどのような注意が必要かガスケットメーカの視 点で研究を進めていきたい。

#### 筆者紹介



衣川 公彦 工業製品事業本部 配管・機器部品技術開発部 シール材の構造解析業務に従事

# ニチアスの建材製品は、



断熱材

ホームマット®,ホームマットNEO® MG ビルパック®,MGボード™ マキベエ® ダンネツ,スーパーフェルトン® II, III

耐火被覆材 マキベエ®, マキベエ® WTA, CLA, BL

**煙突材** セラスタック®

内装材

エコラックス $^{\mathbb{R}}$ , エコラックス $^{\mathbb{R}}$  エンボス エコラックス®のき天 エコラックス® エンボスのき天 NPラックス®L, NPラックス®H

**化粧板** アスラックス® 200R, アスラックス® 600R

フリーアクセス フロア

ニチアスシグマフロア® ニチアス オメガフロア® ニチアス パットフロア® ニチアス デルタフロア® V

免震耐火材 
■ メンシンガード® S, メンシンメジ®

**その他** ニチアスカグスベール®

※®が付されている名称はニチアス(株)の登録商標です。 ※TMが付されている名称はニチアス(株)の商標です。

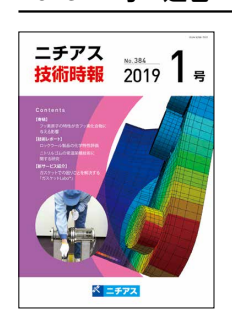






# 「ニチアス技術時報」 バックナンバー

#### 2019/1号 通巻 No. 384



〈巻頭言〉 新年雑感

〈寄稿〉 フッ素原子の特性が含フッ素化合物に与える影響

〈技術レポート〉 ロックウール製品の化学特性評価

〈技術レポート〉 ニトリルゴムの常温架橋技術に関する研究

〈新サービス紹介〉ガスケットでの困りごとを解決する「ガスケット Labo™」

#### 2018/4号 通巻 No. 383



〈工事実績紹介〉 国内最大の冷蔵倉庫

東京団地冷蔵再整備事業における巻付け耐火被覆工事および防熱工事

〈技術レポート〉 ロックウールの優れた耐熱性について

〈製品紹介〉 配管加熱用ヒータ

TOMBO<sup>™</sup> No.4500-PH-PA「プレノ®ヒータ A」

TOMBO<sup>™</sup> No.4500-PH-PB-UL「プレノ<sup>®</sup>ヒータ B-UL」

TOMBO<sup>™</sup> No.4500-PH-PT「プレノ®テープ」

#### 2018/3号 通巻 No. 382



〈技術レポート〉 けい酸カルシウム材料の技術紹介 ~特長と製造方法, 応用製品について~

〈製品紹介〉 ニチアスのけい酸カルシウム製品

〈解説〉 人造鉱物繊維の概要

#### 2018/2 号 通巻 No. 381



〈寄稿〉 高温多湿気候下の都市住宅を対象としたパッシブクーリングによる

省エネ改修手法の開発

- ニチアス・エコハウスによる実証研究 -

〈製品紹介〉 厨房排気ダクト用防火材

TOMBO<sup>™</sup> No.4520-S「セラカバー®S」

〈製品紹介〉 TOMBO™ No.9014「サニクリーン® ガスケット」

〈解説〉 ガスケットの締付管理について

〈連載〉 シール材 Q&A (最終回)

バックナンバーは当社のホームページ(https://www.nichias.co.jp/)でもご紹介しております。 次号 2019/3 号 通巻 No. 386 は 2019 年 7 月発行予定です。

# 🔨 ニチアス株式会社

https://www.nichias.co.jp/

#### 【東日本地区】

札幌支店 TEL (011) 261-3506 苫小牧営業所 TEL (0144) 38-7550 仙台支店 TEL (022) 374-7141 福島営業所 TEL (0246) 38-6173 日立営業所 TEL (0294) 22-4321 TEL (0479) 46-1313 鹿島支店 宇都宮営業所 TEL (028) 610-2820 前橋営業所 TEL (027) 224-3809 TEL (0436) 21-6341 千葉支店 東京支社 TEL (03) 4413-1191 横浜支店 TEL (045) 508-2531 神奈川支店 TEL (046) 262-5333 新潟営業所 TEL (025) 247-7710 山梨営業所 TEL (055) 260-6780

#### 【中部地区】

富山営業所TEL (076) 424-2688若狭支店TEL (0770) 24-2474静岡支店TEL (054) 283-7321浜松支店TEL (053) 450-2200名古屋支社TEL (052) 611-9200豊田支店TEL (0565) 28-0519四日市支店TEL (059) 347-6230

#### 【西日本地区】

京滋支店 TEL (0749) 26-0618 大阪支社 TEL (06) 6252-1371 堺営業所 TEL (072) 225-5801 神戸営業所 TEL (078) 381-6001 姫路支店 TEL (079) 289-3241 岡山支店 TEL (086) 424-8011 広島支店 TEL (082) 506-2202 宇部営業所 TEL (0836) 21-0111 徳山支店 TEL (0834) 31-4411 四国営業所 TEL (0897) 34-6111 北九州営業所 TEL (093) 621-8820 九州支社 TEL (092) 739-3621 長崎支店 TEL (095) 801-8722 熊本支店 TEL (096) 292-4035 大分営業所 TEL (097) 551-0237

#### 本 社 〒104-8555 東京都中央区八丁堀1-6-1

・基幹産業事業本部 TEL (03) 4413-1121 工事事業部 TEL (03) 4413-1124 TEL (03) 4413-1123 基幹製品事業部 TEL (03) 4413-1126 プラント営業部 TEL (03) 4413-1131 ・工業製品事業本部 TEL (03) 4413-1132 海外営業部 ・高機能製品事業本部 TEL (03) 4413-1141 ·自動車部品事業本部 TEL (03) 4413-1151 海外営業部 TEL (03) 4413-1155 ・建材事業本部 TEL (03) 4413-1161

#### 研究所

·浜松 ·鶴見

#### |工 場

·鶴見 ·王寺 ·羽島 ·袋井 ·結城

#### 海外拠点

・インドネシア ・マレーシア ・シンガポール ・ベトナム・タイ ・中国 ・インド ・ドイツ ・イギリス ・チェコ・メキシコ